

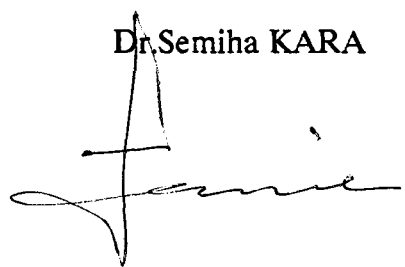
T.C.  
İstanbul Üniversitesi  
Cerrahpaşa Tıp Fakültesi  
Radyodiagnostik Anabilim Dalı  
Başkan: Prof.Dr.Oktay Çokyüksel

25114

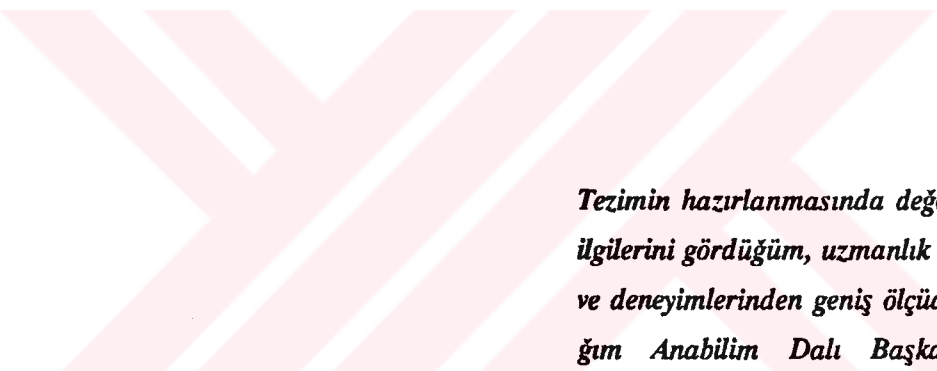
**PRİMER MALIGN KEMİK TÜMÖRLERİNDE  
KONVANSİYONEL GRAFİ BULGULARI İLE  
BİLGİSAYARLI TOMOGRAFİ BULGULARININ  
KARŞILAŞTIRILMASI**

(Uzmanlık Tezi)

Dr.Semiha KARA



İstanbul - 1992



*Tezimin hazırlanmasında değerli yardım ve  
ülgilerini gördüğüm, uzmanlık süresince bilgi  
ve deneyimlerinden geniş ölçüde yararlandı-  
ğım Anabilim Dalı Başkanımız Sayın  
Prof.Dr.Oktay ÇOKYÜKSEL'e yardımlarını  
hiç esirgemeyen Prof.Dr.Ayça ALTUĞ'a,  
Doç.Dr.Füruzan NUMAN'a, Doç.Dr.Kaya  
KANBEROĞLU'na, Yard.Doç.Dr.Gündüz  
ÖĞÜT, Yard.Doç.Dr.Uğur KORMAN'a,  
Uzm.Dr.Civan İSLAK'a ve tüm çalışma  
arkadaşlarına teşekkürlerimi sunarım.*

## K I S A L T M A L A R

BT	Bilgisayarlı Tomografi
GF	Grafi
İV	İntravenöz
MRI	Manyetik Rezonans Görüntüleme
US	Ultrasonografi

## İÇİNDEKİLER

	<u>Savfa</u>
<b>GİRİŞ</b>	1
<b>GENEL BİLGİLER</b>	
A. Embriyoloji-Histoloji	2
B. Anatomi	9
C. Primer Malign Kemik Tümörlerinde Radyolojik İnceleme Yöntemleri	10
D. Primer Malign Kemik Tümörlerine Genel Bakış	11
<b>GEREÇ VE YÖNTEM</b>	24
<b>OLGULAR</b>	25
<b>BULGULAR</b>	53
<b>İRDELEME</b>	57
<b>SONUÇ</b>	61
<b>ÖZET</b>	62
<b>KAYNAKLAR</b>	63

## **G İ R İ Ş**

Günümüzde halen konvansiyonel grafiler primer malign kemik tümörlerinin tanısında değerini korumaktadır. Ancak bilgisayarlı tomografi tümörün yayılımını, anatomik yapılarla ilişkisini meduller kanal tutulumunu, kalsifikasyon, patolojik fraktür ve yumuşak doku kitlesinin varlığını saptamada değerli bir yöntemdir.

Bilgisayarlı tomografi, tedavi planlamasında ayrıntılı bulgular verdiği için, kemoterapi radyoterapi veya cerrahi uygulama endikasyonlarını daha da kesinleştirir. Bilgisayarlı tomografi kullanımının artmasıyla radikal cerrahiden çok konservatif cerrahi tercih edilmektedir.

**Biz bu çalışmamızda malign kemik tümörü olan 50 olguda konvansiyonel grafilerdeki bulgularla BT bulgularını karşılaştırarak bilgisayarlı tomografinin tanı ve tedaviye katkılarını belirtmeye çalıştık.**

## GENEL BİLGİLER

### EMBRİYOLOJİ(1,16)

Embriyonel hayatın çok erken çağlarında primitif barsak borusu ile kanalis nöralis arasında mezoderm hücrelerinden emriyonun başından kuyruğuna kadar uzanan ince bir sütun meydana gelir. Khorda dorsalis adı verilen bu oluşum iskelet ekseninin en primitif şeklidir. Bir müddet sonra iskelet taslaklarını yapan embryonel bağ dokusu kıkırdak dokusu şeklini alır. Yalnız bazı baş kemikleri ve klaviküla taslağının dokusu bağ dokusu şeklinde gelişir. İntra uterin hayatın 9-10. haftasında kıkırdak dokusundan yapılmış taslakların kemikleşmesi başlar.

Daha sonra khorda dorsalisin etrafında omurga meydana gelir. Omurganın meydana gelmesiyle khorda dorsalis gittikçe incelenir, parçalanır. Büyük bir kısmı sonradan tamamen kaybolur. Bir kısmı ise kalır. Örneğin vertebra cisimlerinin birbirine bağlayan disklerin içerisinde bulunan nukleus pulpozuslar khorda dorsalisin artıklarından meydana gelmiştir.

## HİSTOLOJİ(1,10)

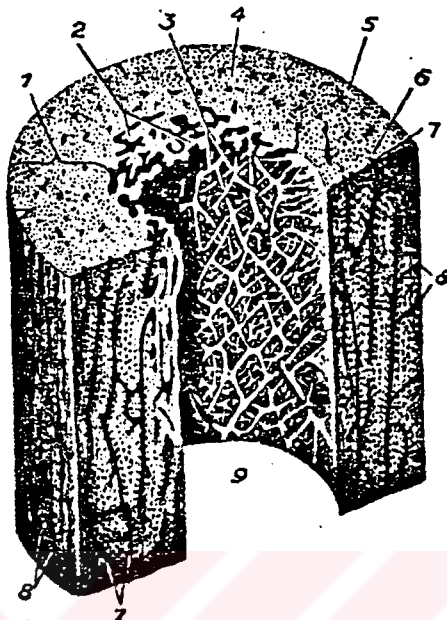
Kemik dokusu bütün destek dokular gibi hücrelerden ve hücreler arası maddeden yapılmıştır. Bu dokunun hücreler arası maddesi kırıdağın kine benzer. Yalnız kemik dokusunda bunun içine inorganik tuzlar özellikle kalsiyum birleşikleri çökmüştür. Bu yüzden kemik dokusu bükülmeyecek ve kesilmeyecek sertliktedir. Kemik, desteklik ve koruma görevinden başka kemik dokusu hücreler arası maddesinde bulunan inorganik birleşikler dolayısıyla tuz metabolizmasında özellikle kalsiyum ve fosfor metabolizmasında rol oynar.

Kemik makroskopik olarak dışta, kompakt kemik dokusu (*substantia ossea kompakta*) ve birbiriyle anastomozlaşarak üç boyutlu ağ yapan kemik trabeküllerinden oluşmuş sünger görüntüsünde dokudan meydana gelir.

Spongöz kemik trabekülleri (*substantia ossea spongiosa*) ağında birbiriyle bağlantılı irili ufaklı kavuklar bulunur ki, bunların içi kemiğine göre kırmızı veya sarı kemik iliği ile doludur. Kompakt kemik kabuğu içinde spongöz kemik dokusu bulunur. *Substantia spongiosa* mekanik etkilere karşı kuvvetli değildir. Kolayca kırılır.

*Substantia kompakta* içinde oyulmuş kanallar mevcuttur. Bu kanalların çoğu kompakt kemiğin uzun eksene ve birbirine paralel seyredeler. Bunlara Havers kanalları denir. Transvers kanallar kemiğin dış yüzünde periost altından başlayarak kemiğin uzun eksene dik veya oblik yönde seyreder ve kemiğin iç yüzüne kadar uzanarak kemik iligine açırlar. Bunlara VOLKMANN kanalları denir. Bu kanallar transvers seyirleri sırasında havers kanallarını birbirine bağlar. Volkman kanalları içindeki damarlar, havers kanallarının içerdiği damarlarla devam ederler. Böylece kemik dokusu damardan zengin hale gelir.

Kemik dokusu paralel olarak birbiri üzerine tabakalaşmış 3,7 mikron kalınlığında lameller oluşturur.



Kurutulmuş kemik (humerus) parçasının büyütülmüş üç boyutlu şeması

1. Kompakt Kemik, 2. Spongiöz kemik, 3. Spongiöz Kemik Trabekülleri, 4. Kompakt Kemiğin Lamelleri, 5. Kompakt Kemiğin Dış Esas Lamelleri, 6. Havers Lamelleri

Hücreler arası madde, bütün destek dokularında olduğu gibi, esas madde (*substantia fundamentalis*) ve liflerden oluşur (lifler sadece kollagen liflerdir). Kemiğin hücreler arası esas maddesi içinde inorganik bileşikler özellikle kalsiyum tuzları çökmüş bulunur. Esas madde diğer bütün destek dokularında olduğu gibi glikoproteinden yapılmıştır.

Inorganik tuzlar esas madde içine çökmüş bulunur. Kalsiyum bileşikleri esas itibarı ile kalsiyum fosfatıdır. Kalsiyum fosfat hidroksiapitit halindedir. Az miktarda kalsiyum karbonat, kalsiyum sitrat, eğer içme suyu ile alınmışsa kalsiyum florid de bulunur.

Periosteum eklem yüzleri hariç olmak üzere kemikleri dıştan saran sıkı bağ dokusu kılıfıdır. Kemiğe sıkıca bağlantısı sharpey lifleri ile sağlamıştır. Periosteum iki tabakadan oluşur. Dış tabaka veya stratum fibrosum sıkı bir bağ dokusudur. Kan damarları ve sinirden zengindir. İç tabaka daha gevşek ve hücreden zengin bir bağ dokusudur. Bu tabakaya doğrudan tabaka (kambiyum tabakası) denir.

Tendon ve ligamanların tutunduğu kemiğe giren kan damarları ve sinirlerin yayıldığı periosteum mekanik desteklik yapar ve kemiğin beslenmesini sağlar.

Endostueum kemiğin iç yüzünü örten ince retiküler bağ dokusu tabakasıdır. Hem kemik hemde kan hücrelerini yapma potansiyeline sahiptir.

### OSTEOGENEZ

Kemik yapımı, kemik yıkımı ile beraber gider. Böylece embriyonel yaşamdan itibaren daha önce oluşan kemik dokusu bir yandanda yoktur. Onun yerini yeni oluşan kemik dokusu alır. Kemik yapımı ve yıkımı olayları yavaş bir tempo ile gelişkinde de devam eder. Bu suretle kemik dokusu yaşam süresince devamlı olarak yenilenir.. Kemik dokusunun devamlı böyle yenilenmesi mekanik, hormonal ve kimyasal koşullarla ilgiliidir.

Osteoblast, kemik yapımını sağlayan hücrelerdir. Osteoblastlar embriyonel yaşamda mezenşim hücrelerden daha sonraları bağ dokusunun genç fibrostlerinden farklılaşır ve etraflarında kemik dokusunun hücreler arası maddesini salgılayarak osteositlere değiştirler.

Stoplazmalarında ribonükleik asitden zengin ribozomları vardır. Osteoblastlar kemik dokusunun glikoprotein yapısındaki esas maddesini ve kollagen lifleri salgılarlar. Kemiğin hücreler arası maddesi içinde kalsiyum tuzlarının çökmesinden önce osteoblastlardaki alkali fosfataz, ekstrasellüler ortama geçer ve aramadde içindeki organik fosfat esterlerinden hidroliz yoluyla fosfat grubunu ayırarak kan ve doku sıvısı içinde bulunabilen kalsiyum iyonları ile birleşip kalsiyum fosfat halinde çökmesini kolaylaştırır.

Osteoklast, kemik yıkımını sağlayan iri düzensiz şekilde dev hücredir. Fibrositlerin farklılaşmasından oluşabileceği gibi osteositlerin bir kaçının birleşmesiylede gelişebilir. Osteoklastlar asit fosfataz ve proteolitik enzimlerden zengindir. Bunların kemik rezorbsiyonunu ne şekilde sağladıkları henüz kesin bilinmemektedir.

Osteogenez iki şekilde olur. 1. mezenşim veya bağ dokusu içinde doğrudan doğruya kemik oluşmasıdır. Buna dezmal veya intramemranöz ossifikasiyon denir. Diğer ise kondral ossifikasiyondur. 1. tip kemikleşme ile kafatasının yassı kemikleri gelişir. 2. tipte ise bağ dokusu veya mezenşim içinde kemiğe öncülük eden hiyalin kıkırdak dokusu oluşur. Daha sonra kıkırdak taslağı ortadan kalkarken yerine kemik dokusu yerleşir. Kondral ossifikasiyon perikondral ve enkondral olmak üzere 2 şekilde olur. Perikondral kemikleşme ile kompak kemik, enkondral kemikleşme ile spongioz kemik gelişir. Perikondral kemikleşme kemiğin enine büyümесini en kondral kemikleşme kemiğin uzunluğuna büyümесini sağlar.

Epifizlerin ilk kemikleşme noktaları diafizden çok sonra belirir. Kemik diyafizlerinin ilk kemikleşme merkezleri yaklaşık 3 aylık embriyoda olduğu halde epifizlerin kemikleşmesi doğumdan sonra ilk yaşlarda başlar. Epifizlerin enkondral kemikleşmesi perikondral kemikleşmeden önce olur. Uzun kemiklerin büyümесini sağlayan epifiz diskleri kıkırdakları 20-23 yaşlarına kadar kalır. Bu yaşlarda önce alt epifiz diskleri üst epifiz disk kıkırdakları kemikleşir. Bu nedenle artık kemiklerin uzunluğuna büyümesi dolayısıyla boy uzaması durur.

Kemiklerin enine büyümesi periosteum tarafından sağlanır. Perikondral ilk kemik oluşmasından sonra perikondrium artık periosteum olur. Diafiz ve epifizlerin yan yüzlerini örten periosteum, kemiğe bitişik derin yüzündeki osteoblastların faaliyeti ile periosteal kompak kemik yaparak tabaka tabaka daha önce oluşmuş perikondral kompak kemik üstüne yiğar. Periosteal kemik oluşması diafizin kompakt kemiğinin dış esas lamellerini meydana getirir. Kemik kanalı yeterli büyüklüğe ulaşınca periosteum faaliyeti durur.

Gelişkinde kemik yapımı ve yıkımı olayları yavaş bir tempo ile devam eder, bu suretle daha önce oluşmuş Havers lamelleri sistemlerinden bazı osteonlar zaman zaman rezorbsiyona uğrar. Bunların yerine yeni osteonlar oluşur.

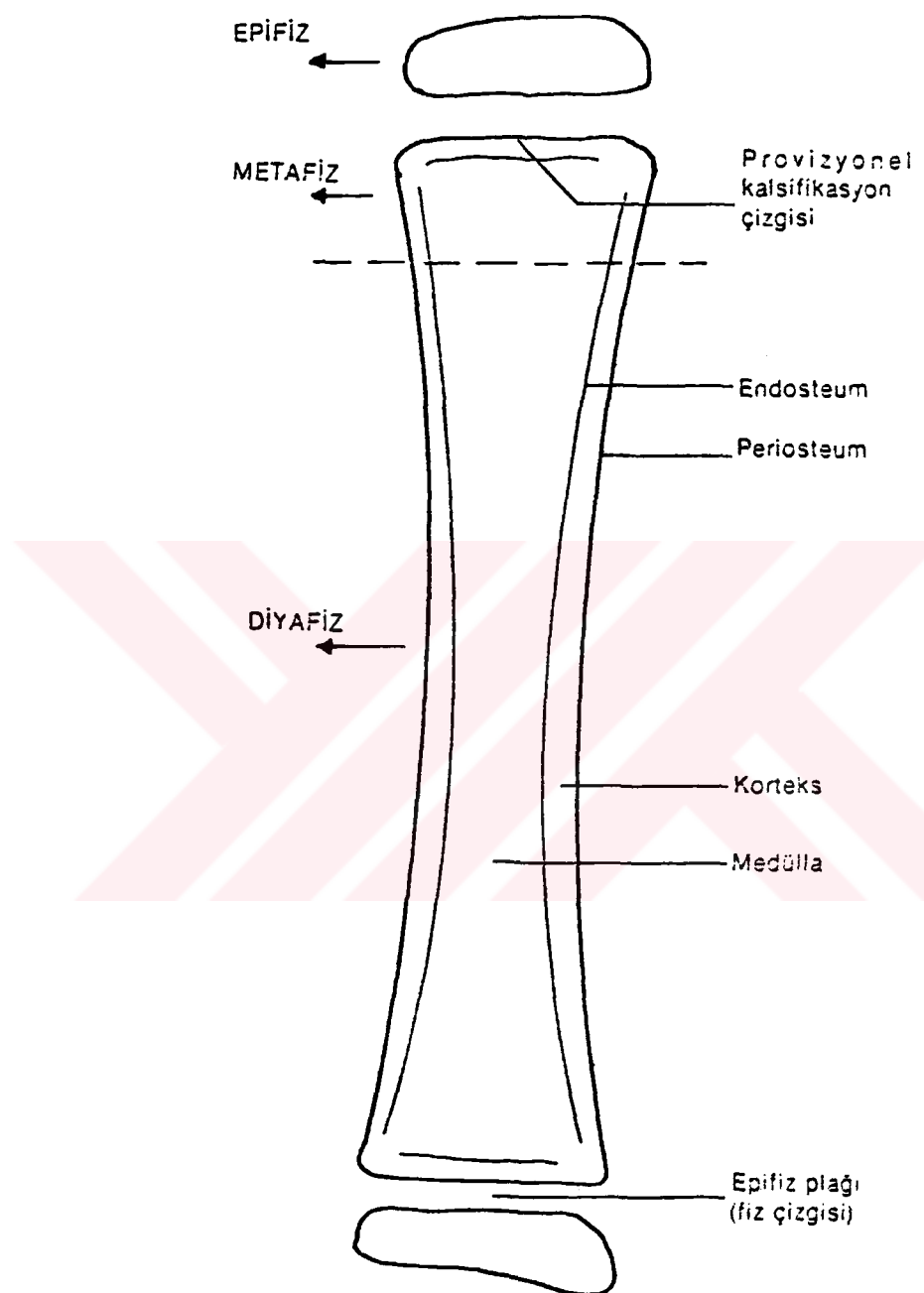
İlleriki yaşlarda kemik yıkımı yapımından daha şiddetlidir. Bu yüzden Havers kanallarının çeperindeki osteoklastların faaliyeti artmış ve kanallar genişlemiştir. Kemik incelir, kolay kırılabilir hale gelir.

#### KONVANSİYONEL RADYOLOJİK ANATOMİ(10,11,17):

Kemik tubuler (uzun ve kısa) yassı ve küboid olmak üzere 3'e ayrılabilirler. Tubuler kemiklerde epifiz, epifiz kapağı, provüzyonel kalsifikasyon bölgesi, metafiz ve diafiz gibi bölümler bulunur. Dışarıdan içeriye doğruda periosteum, korteks, endosteum, meduller bölümleri vardır. Korteks kompak kemikten, medullanın uçları ve epifizlerinin iç kısımlarında spongioz kemikten yapılmıştır.

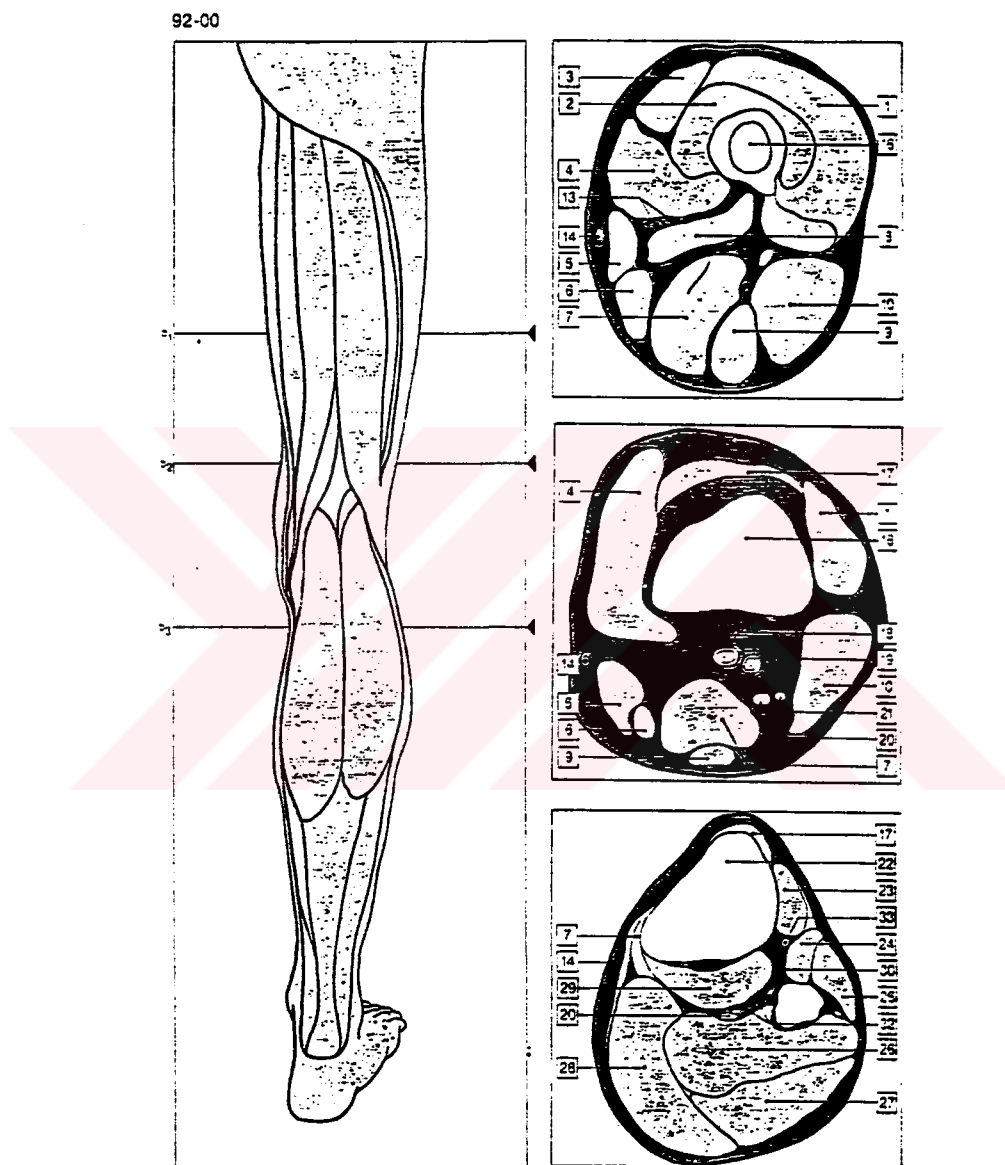
Epifizler kemiklerin uzunluğuna büyümeye etkilidir. Kemiklerin büyümesi ile ilgisi olmayan ossifikasyon merkezlerine apofiz adı verilir.

Kemiklerin kanlanması, nutrugen arter, epifiz ve metafiz damaları ve periost damaları ile sağlanır. Metafiz ve epifiz arterleri arasında anastomozlar vardır.



#### TUBULER KEMİĞİN RADYOLOJİK ANATOMİSİ

### BT ANATOMİ:



1. M vastus lateralis
2. M vastus
3. M.rectus femoris
4. M vastus medialis
5. sartorius
6. M gracilis
7. M semi-membranosus
8. M.adductor longus
9. M semitendinosus
10. M.biceps femoris (caput longum)
11. M biceps femoris (caput breve)
12. A. femoralis
13. V.femoralis
14. V. sephena magna
15. N ischiadicus
16. Femur
17. Lig. patellae
18. A.poplitea
19. V.poplitea
20. N.tibialis
21. N.fibularis
22. Tibia
23. M.tibialis anterior
24. M.extensor dig.longus
25. M peronaeus longus
26. M soleus
27. M.gastrocnemius (caput laterale)
28. M.gastrocnemius (caput mediale)
29. M.popliteus
30. Membrana interossea
31. N.fibularis (prof.)
32. A.V fibularis
33. A. tibialis anterior

BT çalışmalarında simetrik inceleme yapıldığı için lezyon kolaylıkla fark edilir. Korteks ve meduller kavite ayırımı çok netdir korteks yoğunluğu (250+400 HU) meduller kavite (-50 Hu'). Kemiği çevreleyen yağlı alanlar fazla ise kas grupları ayrı ayrı değerlendirilebilir.

### **PRİMER MALIGN KEMİK TÜMÖRLERİNDE RADYOLOJİK İNCELEMELER(13,15,33)**

1. DİREKT GRAFİ
2. BT
3. RADYONÜKLEİD SKENNİG
4. ANJİOGRAFİ
5. ULTRASOUND
6. MRI

#### **DİREKT GRAFİ:**

Direkt grafi halen kemik tümörlerinin tanısında kolay ve pratik olması nedeniyle önemini korumaktadır. Ayrıca tümördeki kalsifikasyonu, yeni kemik yapımını saptamada periost reaksiyon göstermede tümör konturlarını irdelemede ayrıntılı bilgi vermektedir.

#### **BT:**

Primer tanısında çok üstün olmamakla birlikte lokalizasyonu karmaşık olan tümörlerin erken saptanmasında önemli rol oynamaktadır. Ayrıca tümörün uzanımını meduller kanal invazyonunu, anatomik yapılarla ve büyük damar, sinirlerle ilişkisini göstermede, tedavi planlamasında değerlidir.

## RADYONÜKLEİD SKENNİĞ

**99m Tc-pyofosfat ile yapılan incelemede tümör dokusunda % 90 up-take artar.** Ayrıca uzak kemik metastazları saptanmasında çok hassasdır.

## ANJİOGRAFİ

Hemanjiom haricinde diğer kemik tümörlerinin histolojik yapısı konusunda bilgi vermez. Genellikle malign ve benign ayırmını yapabilmektedir.

## ULTRASOUND

US kitlenin gerçek boyutunu saptar ancak anatomik yapılarla ilişkisini, tümör uzanımı konusunda ayrıntılı bilgi vermez. Özellikle sakrum ve pelvis lokalizasyonunda tümörün saptanmasında başarısız kalır. Cerrahi uygulama yapılmayan hastalarda tedavi takibinde US çok yararlı bilgi verir.

## MRI

Günümüzde hızla yaygınlaşmaktadır. Tümörün uzanımında, medullar kanal tutulumunda tedavi takipde çevre sinir ve damarlar invazyonunun gösterilmesinde BT'den daha üstündür(% 38)(33).

## MALİGN KEMİK TÜMÖRLERİNE GENEL BİR BAKIŞ

Kemik tümörlerinin klasifikasyonu 1900'lerin başından itibaren yapılmaktadır. Edeiken'dan alınan aşağıdaki klasifikasyon sadece malign kemik tümörlerinde genel bir yaklaşım amacıyla verilmiştir.

**A. KEMİK YAPAN TÜMÖRLER**

- OSTEOSARKOM

**B. KARTİLAJ YAPAN TÜMÖRLER**

- KONDROSARKOM

**C. DEV HÜCREİ TÜMÖR**

**D. KEMİK İLİĞİNDEN KAYNAKLANAN TÜMÖRLER**

- EWİNG SARKOMU

- PRİMER RETİKULUM HÜCRELİ SARKOM

- LENFOŞARKOM

**E. VASKÜLER VE KONNEKTİV DOKUDAN KAYNAKLANAN  
TÜMÖRLER**

- ANGİOSARKOM

- LİPOSARKOM

- MALİGN MEZENŞİMOM

**F. ADAMANTİNOM**

**G. KORDOMA**

**H. İNFERANSİYE SARKOM**

## OSTEOSARKOM

**Primitif indiferansiyen mezenşimal dokudan kaynaklanır.** Myelomadan sonra en sık görülen primer kemik tümörüdür. Radyasyon, FBJ virüsü gibi etkenler suçlansada kesin nedeni halen bilinmemektedir.

**Santral osteosarkom** genç adutlarda, ender olarak 10 yaşın altında görülür. % 70-80 30 yaşın altındadır. Erkekleri kadınlara göre 2 kat daha fazla tutar. 35 yaşın üstündeki osteosarkomlar sıklıkla sekonderdir (paget hastalığı gibi) serum alkalin fosfat seviyesi yüksektir. Cerrahiden tedaviden sora 5 yıllık yaşam % 15-20 civarındadır. Pulmoner metastaztanidan yaklaşık 5 yıl sonra ortaya çıkmaktadır. Pulmoner metastazdan sonra ilk yıl % 75'i, 2. yıl sonunda ise % 91'i ölmektedir. Osteosarkom indiferansiyen mezankimal dokudan kaynaklandığı için fibröz kartilaj doku ile ossöz doku birlikte sıklıkla bulunabilir.

**Osteoblastik reaksiyon** yeni kemik yapımı ile kendini gösterir. Kemik dansitesi artar lezyon ile çevre dokular kesin ayırd edilemez. Bazen, trabeküller haversian kanallar gibi karakteristik yeni kemik oluşumu görülür. Kemik dışında yumuşak doku kitlesi vardır. Genellikle uzun kemiklerin metafizinden gelişir. Özellikle femur distalinde sık görülür. 30 yaşın altında silindirik kemiklerden gelişebilir (ileum gibi).

**Intrakortikal osteosarkomlar** daha iyi prognozları vardır. Radyolojik olarak küçük dekstrüktif alanlar başlar. Total olarak osteolitik osteosarkom veya telenjiiktazik osteosarkom çok kötü prognoza sahiptir. Periost reaksiyonun soğan kabuğu, işinsal codman üçgeni gibi tipleri olabilir. Halbuki benign lezyonlarda ise uniform ve soliddır. Metastazlarını lenf dokusuna akciğer, karaciğer ve beyine atabilir. Uzak pulmoner metastazlar tedavi ve prognoz için çok önemlidir.

## **PERİOSTEAL OSTEOSARKOM**

Paraosteal osteosarkom'dan daha iyi prognoza sahiptir. 9-70 yaş arası görülebilir. En sık klinik bulgu ağrı ve aylar sonra yumuşak doku kitlesinin farkedilmesidir. Endosteal kortikal kalınlaşma olur fakat meduller kanal invazyonu kortikal destrüksiyon görülmez. Mezanşimal tümörler genellikle metaphiz kaynaklıdır. Ancak bu tümör diafizden orijin alır. Klasik osteosarkom ile ayırcı tanı için meduller kanalın tutulup tutulmadığına bakılır. Paraosteal sarkom daha dens ve daha genişir. 5 yıllık yaşam % 50'nin üzerindedir. Uzun kemiklerin periosteal yüzlerinde elips şeklinde büyümeye görülür.

## **EXTRA OSSÖZ OSTEOSARKOM**

Uyluk yumuşak doku tümörü olarak kabul edilsede retroperitoneum yumuşak doku tümörü olarak da rapor edilmektedir. Orbita, yüz, sırt, kalça, abdomen, boyun böbrek gibi bir çok lokalizasyonda görülebilir. Histolojik özellikleri aynı osteosarkom gibidir.

## **OSTEOSARKOMATOZİS**

6-90 yaş arasında görülür. Prognozu kötüdür. Pulmoner metastaz erkendir. Genellikle tek bir kemikle başlar, hızla diğerlerine yayılır. Osteoblastik aktivite daha belirgindir. Uzun kemiklerde, metaphizde, opak dens simetrik lezyonlardır. Korteksi destrükte edip yumuşak doku kitlesi oluşturur. Metaphizden epifize uzanır.

## **PARAOSTEAL OSTEOSARKOM**

Kemiğin periferindeki periosteumdan gelişir. Tümör dışarıya doğru büyür. % 50'si 30 yaşın üstündedir. Histolojik karakteri genişir. Biopsi'yi derin lokalizasyondan yapmak gereklidir. Korteks ve medullayı tutar. Femur veya tibia alt ucunda humerus proksimalinde sık görülür. Merkezi dens periferi daha az densdir. Korteks tutulmamışsa myozitis ossifikansla ayırd edilmez.

## **KONDROSARKOM**

Kondrosarkom, multipl myolomayı hariç tutarsak osteosarkomdan sonra 2. sıklıkla görülür. 2. grupta toplanabilir.

- Santral
- Periferik

Santral tip kemiten, periferik tip yüzden kaynaklanır. Her iki tip te kondroma veya osteosarkomdan gelişebilir. Multipl herediter exostozis vakalarında % 7-11 oranında kondrosarkom görülür. Özellikle puberte sonrası eller hariç uzun kemiklerdeki soliter enkondromlarda malign potansiyel vardır.

### **SANTRAL KONDROSARKOM**

En sık şikayet ağrıdır. Periferik kondrosarkom çok büyük boyutlara erişmesine rağmen bu tip küçük hacimlidir. Çocuklarda hızla gelişir, fakat yinede osteosarkom prognozundan iyidir. 20 yaş altında az görülür. Yarısından fazlası 40 yaşın üstündedir. Morfolojik olarak benign ve malign lezyonları ayırmak son derece güçtür. Kondrosarkomlar kondroblastlardan kaynaklanır ve kondorid matriks oluştururlar. Büyük bir bölümü kartilajinöz olmasına rağmen csteid yapıda olanlarda vardır.

Santral kondrosarkomlar 2 çeşit radyolojik görüntü verirler. Litik bir alan içinde multipl veya tek küçük irregüler kalsifikasyon alanları olup çevresine sklerotik margin mevcuttur. Enkondromdan gelişen kondrosarkomlar genellikle femur boynunda, pubis kolunda, humerus proksimal ucunda görülür. 2. tip santral kondrosarkomda litik alan çevresinde sklerotik margin yoktur. Bu tip santral kondrosarkom pelvis, femur distali tibia humerus üst ucunda sıktır. Genellikle uzun kemiklerin metafizinde yer alır. Arasında diafizde'ye olabilir.

Ender olarak ayak ve el kemiklerinden kaynaklanır. Yerleşimleri ise metakorpo-faringeal eklem yanındadır. Yavaş metastaz yapar, amputasyon yapıldıktan sonra 5 yıllık yaşam % 80-90'dır. Kartilajinöz tümörlerin % 50'sinden fazlasında tipik kalsifikasyon vardır. Vertebralarda etkilendiğinde khordomadan ayırcı tanısı zordur. Khordoma genellikle disk mesafesini, kondrosarkomlar ise vertebra cismini ve posterior elementlerini tutar.

Artiküler snoviyal kondrosarkom histolojik olarak kondrosarkoma benzer. Örneği kartilajinöz larinks ve hiyoid kemiklerden kaynaklanan kondrosarkomlar maligndir ve sıklıkla hemen metastaz yaparlar.

Kraniumda en sık sfenoid kemik ve serebello pontin açıdan kaynaklanır. İlki kalsifiye olur, diğeri ise kalsifikasyon göstermez. Ender olarak medulladanda kaynaklanabilir.

Kondrosarkom eğer kalsifikasyon göstermiyorsa litik osteosarkom ve fibrosarkomdan ayırmak oldukça güçtür. Büyük santral kondrosarkomlar orteksi destrükte eder ve yumuşak doku kitlesi oluştururlar. Özellikle metafizer orijinli olanlarda periosteal reaksiyon sıktır. Femur boynundaki kondrosarkomlarda sıklıkla endosteal kortikal kalınlaşma mevcuttur.

### **BERRAK HÜCRELİ KONDROSARKOM**

Düşük gradeli kondrosarkomdur. Kondroblastom ile karışır. 20 yaşın altında çok enderdir. Hastanın şikayet süresi 1 ila 10 yıl arasında değişebilir. Kondroblastolar sıklıkla epifizler kapanmadan önce ortaya çıkar. En sık femur proksimal ucunu sever.

### **PERİFERİK KONDROSARKOM**

Bu tip konndrosarkomlar genellikle femur, humerus, pelvis, scapula ve kostal lokalizasyonundadır. Multipl herediter eksostozdan ve osteokondrosarkomdan kaynaklanabilir. Periferik büyüdüğü için çok büyük boyutlara ulaşır. İlerde tüm kemiği destrükte eder.

## **İSKELET DİSİ KONDROSARKOM**

Kemik veya kartilaja ulaşmadan yumuşak doku kartilaj tümörleridir. Genellikle benigndir. Ancak çok ender malign olanlarda vardır. 2-73 arasında görülebilir. Gluteal, alt extremiteleri sever daha az olasılıkla torasik duvar, mesane, dil omuz, ellerde de görülebilir. El ayak ve larinks yerleşimli olanlar ender olarak malign'dir. Tipik bir radyolojik görünümü yoktur. Ancak % 30'u kartilaj kalsifikasyonu gösterir.

Dahlin ve arkadaşları 370 kartilajinöz tümörleri izlemiş ve % 9'un değiştğini rapor etmişlerdir. % 35'i osteosarkomu % 65'i fibrosarkoma dönüşmüştür.

## **MEZENŞİMAL KONDROSARKOM**

Ewing veya retikülum hücreli sarkomlara benzer. Kartilaj yapısındaki mezansimal dokudan kaynaklanır. Bu tümörler vertebra kosta, kranium, tarsal ve metatarsal kemiklerdeki yumuşak dokudan gelişir. Radyolojik olarak destruktif hayli agresiv'dirler. Tipik kondroid kalsifikasyon göstererek kondrosarkomdan ayırd edilmezler. Meastazları sık görülür.

## **SİNOVİYAL KONDROSARKOM**

Ender görülür. Klasik kondrosarkoma dönüşebilir.

## **FİBROSARKOM**

Ne osteoid nede kondroid matrix yaparlar. Fibroblastların hakim olduğu neoplazmdir. Santral veya periosteal orijinli olabilirler. 2-7 dekat arasında görülebilir. Genellikle genç hastalarda uzun, yaşlılarda yassı kemiklerden kaynaklanır. Eklem lokalizasyonuna yakın yerleri sever. Tümör bölgesi ekspanse olur (özellikle periosteal veya parosteal tiplerde) İyi diferansiyel olmuş tümörlerde ilk muayenede bile büyük hacimlere ulaşmıştır. En sık görüldüğü lokalizasyon tibia ve femurdur. Fibrosarkomun прогнозu osteosarkoma göre daha iyidir. 5 yıllık yaşam % 30'dur.

Yavaş büyürler ve diğer kemik tümörlerinden farklı olarak lenf yoluyla yayılırlar. Histolojik yapı ile klinik seyir arasında çok yakın ilişki bulunur. Histolojik yapı anaplastik ise çok hızlı metastaz görülür. Tümörü lokal çıkarılması uygunsa lokal çıkarılır.

Periosteal fibrosarkomlar geniş yumuşak doku kitleleri ile karakterizedir. Kalsifikasyon görülmez. En sık pelvis femur boynu, skapula kaynaklıdır. Osteolitik alan içinde ossifikasiyon ve kalsifikasiyon yoktur. Bazen spiküler tarzda periost reaksiyon görülür.

Santral fibrosarkom, meduller kaviteden başlar destrüksiyon sonucunda endosteal kortikal sınıra gelir. Bu noktada kortex incelir. Sonuçta korteksi destrukte ederek periosta ulaşır. Sıklıkla uzun kemiklerin metafizlerine yerleşir. Ancak diafizer yerleşimde görülebilir. Sekestrasyon bazen çok masifdir. Uzun kemiklerde ekspansiyona neden olur. Bu belirtisi ile anevrizmal kemik kisti ile karışabilir. Ancak anevrizmal kemik kisti eksantrik ekspansiyon yapar. Ayrıca tanıda osteolitik, osteosarkom, kondrosarkom giant sell tümör, anevrizmal kemik kisti düşünülmelidir.

Kondrosarkomların tipik kalsifikasiyonu vardır. Malign dev hücreli tümör metafizinden başlayarak eklem içine doğru uzanır. Oysa fibrosarkom eklem yakınından diafize uzanmaya eğilimlidir.

## **DEV HÜCRELİ TÜMÖR**

Bu tümörler sinsice büyürler. Klinik şikayetler ortaya çıkıncaya dek büyük boyutlara ulaşır. En erken semptom ağrıdır. Patolojik fraktür başlangıç belirtisi olabilir. Histopatolojik olarak multinükleer dev hücreler görülür. Stroması fibroid yapıdadır.

Jaffe ve arkadaşları histolojik olarak 3 grade ayrılmışlardır.

Gr 1 normal matür ve stromal hücreler.

Gr 2 az miktarda atipik hücreler.

Gr 3 belirgin atipik hücreler, kesin malignensi

Grade 1'de kırtajdan sonra % 40, grade 2'de ise % 60 grade 3'de ise % 100 rekürrens görülür. Tüm dev hücreli tümörlerin metastazı % 15'dir.

Metafizde radyolusen lezyonlar şeklinde başlar uzun kemiklerin eklemelerine doğru uzanırlar. Bu tümörlerin sadece % 14'ü 20 yaş altındadır. Yani ender olarak epifizyel plak kapanmadan görülür. Tümör eksentrik yerleşir ve daha sonra tüm kemik çapını tutar. Yeni kemik formasyonu periosteal veya endosteal reaksiyon genellikle görülmez. Lezyonun içinde ince kemik çizgileri görülür bu da parçalanmış kemik parçacıklarını gösterir. Bening dev hücreli tümörler genellikle iyi sınırlıdır. Multi sentrik başlayabileceğine dair raporlar vardır.

## **EWİNG SARKOM**

Çoğu patolog kemik iligideki stem cellden orijinini aldığı düşünmektedir. 30 yaş üstü insanlarda ender olarak görülür. Genellikle 5 ile 15 yaş gurubu arasında saptanır. Çok ender 5 yaş altında da görülebilir. İnfantlarda nöroblastom ile karışır. 1 yaşın altında da rapor edilmiştir.

1/3'ünde ateş, lokositoz, sedimentasyon artışı saptanmıştır. Bunalılar antibiyotiğe yavaş yavaş cevap verebilirler. Ağrı gelip geçicidir. Başlangıçta hasta istirahat ile ağrıyı geçistirir. Fakat ilerleyince istirahate bağımlılığı kaybolur. Korteks ve periosteuma penetre olur ve bir kitle gelişir. Prognozu genellikle kötüdür. Hastaların çoğu 2 yılın sonunda ölürlük. Ossöz ve pulmoner metastaz sıktır. 5 yıllık yaşam % 10-15 arasıdır. Metastaz gelişen amputasyon veya dis artikülasyon hem cerrahi tedavi hem de radyoterapi uygulanır.

En sık femur (% 25) pelvis omuz kemiklerinde görülür. Baş ve yüz kemiklerinde de ender olarak saptanır.

Ewing sarkomun tipik görüntüleri uzun kemilerin saftında litik lezyonlar, lameller tarzda periost reaksiyonudur. Metafiziyel kaynaklı olanlarda permiativden daha ziyade jeografik destrüksiyon görülür.

Reaktif kemik yapımı olabilir. Reaktif kemik formasyonu perosteal ve trabekülasyon olmak üzere 2 tipdir. Tümör yeni kemik ve kartilajinöz matriks yapmaz. Reaktif kemik formasyonu normal kemik mekanizması ile oluşur. Halbuki osteojenik ve kondrojenik tümörler hem osteoblastları hem de tümör osteogenezini proveke ederler. Osteojenik tümörlerin yumuşak doku kitlelerinde kalsifikasyon olurken ewing tümörlerinde kalsifikasyon görülmez.

Ewing tümörü meduller kaviteden kaynaklanıp haversian sistemleri tutar ve subperiosteal bölgeye uzanır. Bu tümörde erken korteks destrüksiyonu görülmez. Subperiosteal bölgeye ulaştığında ya lameller ya da işinsal tarzda periosteal reaksiyon gelişir. Erken radyolojik görüntü korteks destrüksiyonu olmadan periost reaksiyon olabilir. Vertebra tutulumları genellikle osteolitik olup ortası kollabey olur. Bazen de paravertebral tipde kitle ve dansite artımı görülür. İnfeksiyonla ayırcı tanısı bu durumlarda güçtür.

Ewing tümörü küçük güve yeniği şeklinde radyolojik görüntü verir. Dansite azalmış olup bu fazda meduller kavite ekstansif şekilde tutulmuştur. 1 ay içinde periost reaksiyonu görülür.

Bu tümörler klinik ve radyolojik belirtiler ile infeksiyona, çok benzer bundan dolayı biopsi çok yararlıdır. Ezinofilik granülomla, osteosarkomla, retikülüum hücreli sarkomla nöroblastomla ayırcı tanısı yapılmalıdır.

## **RETİKÜLUM HÜCRELİ SARKOM**

Erkekleri kadınlara göre 2 kat daha fazla tutar. % 77'si 40 yaşın altında, % 45'i 30 yaşın altında görülür. Dinlenme ile geçmeyen ağrılar ilk şikayetettir. Femur tibia humerus gibi tubuler kemikleri sever. % 40'ı diz çevresindedir. Klasik olarak tümör kemik iliginden başlar. En erken radyolojik bulgu spongioz kemik yapıda kortekste kalınlaşma ve destrüksiyona neden olur. Lamellar tarzda periost reaksiyonu oluşur. Ayırıcı tanıda osteosarkom, ewing tümörü, metastatik malignensiler düşünülmelidir.

## **PLAZMA HÜCRE DYSKRAZİSİ**

Plazma hücreli kemik iliginde, gastrointestinal sistemde, lenf nodlarında bulunur. Ümmün sistemden sorumlu olup antikor oluştururlar. Plazma hücre dyskrazilerinde ise antijenik madde ileri derecede plazma hücresi yapımı başlar. Retiküloendotelial sistemlerinde T ve B hücrelerinden oluşur. T hücreleri timusda yapılır ve hücresel ümmüniteden sorumludur. B hücreleri ise ümmünglobülin yapar ve lenfositlerin prekürsörleridir.

Ümmünglobulinler yüksek moleküllü proteinlerdir. 2 hafif 2 ağır olmak üzere 4 polipeptit zincirleri vardır. 5 majör ağır zincirli ümmünglobülin vardır(G,A,M,D ve E)

## **PLAZMASİTOM**

B hücrelerinde neoplastik proliferasyon görülür. En sık sternum, pelvis ve kotlarda görülür. Genellikle 5. dekattan sonra saptanır. Multipl değildir.

## MULTİPL MYELOMA

Kemik iliğinin hemopoitik elemanlarından kaynaklanır. Ender olarak iskelet dışı görülür. 40-70 yaş arasında sıktır. Erkeklerde daha sıkır. En sık görülen semptom sternum ve vertebralarda ağrıdır. Spinal ve serebral tutulum olduğu zaman nörolojik belirtiler görülür. Ateş lenfadenopati hepatosplenomegali, hipertansiyon, retinitis sık görülen klinik bulgulardır. Amiloid infiltrasyon % 6-15 arasında görülür.

İskelet sisteminde yaygın olarak osteolitik lezyonlar vardır (özellikle kafa, vertebra, kosta ve pelviste) Ender olarak osteoblastik lezyonlar görülür. İlk olarak yassı kemiklerin kırmızı hücrelerini etkiler. Daha sonra uzun kemikleri tutar. Periferik kondansasyonu olmayan genellikle tek lezyon oluşturmaya eğilim vardır. Multip myeloma mandibulayı sıkılıkla tutarken metastatik odaklar çok ender mandibulayı tutar.

Litik alan çevresinde genellikle skleroz yoktur. Ancak kemoterapi ve radyoterapi sonrası görülebilir. Kotlarda bütünü ile ekspansiona neden olabilir. Patolojik fraktürler sıkılıkla kot ve vertebralarda görülür.

## KORDOMA

Emriyonel nod-kordal artıklarından kaynaklanır. % 91'i vertebral kolumnda görülür. Erkeklerde kadınlara göre 2 kat daha fazladır. 50-70 yaş arası sıktır. Fakat her yaşı grubunda rastlanır. 3 yaşında bile görülmüşdür. Genç hastalarda spheno-oksipital yaşlılarda sakrum-koksiks bölgesinde rastlanır. Bening, malign ayrimı güçtür. Uzun süre kontrolde kalabilir.

Sakro-koksiel kordomalar orta hatta olup presakral bölgede çok büyük boyutlarda yumuşak doku kitlesi oluştururlar. Posteriorda yumuşak doku sık değildir. Lezyon genellikle pür litiktir ancak osteoblastik reaksiyonda görülebilir. Kalsifikasyon görüldüğünde kontrosarkomla ayırcı tanısı güçleşir.

**Servikal vertebra lokalizasyonunda vertebra korpusu destrükte olup kollaps gösterir.** Tümör intervertebral aralığı uzanır. Anterior yumuşak doku kuralıdır ancak tümör vertebra posteriorundan başlarsa posteriorda'da kitle görülebilir.

**Sfeno-okskipital tümörlerde genellikle klivus, dorsum sella destrükte olur kaba kalsifikasyonlar görülür.** Plazmasitom, ependimom, dev hücreli tümör, anevrizmal kemik kisti ile karışabilir.

### **HEMANJİOPERİSİTOM**

**Bu tümör genellikle yumuşak doku kaynaklıdır.** Uzun kemiklerin metafizini sever. Saptandığında büyük boyutlara ulaşmıştır. Ekspansiyone neden olduğundan anevrizmal kemik kistine benzer. İnterossöz lezyonlarda kalsifikasyon yoktur. Ancak yumuşak dokudan kaynaklananlarda görülür. Vertebra, pelvis, kafa kemikleri gibi düz kemiklerde sıkıktır.

### **MALİGN FİBRÖZ HİSTİOSİTOM**

**Genellikle 50 yaş civarında görülür.** Belirgin cinsiyet farklılığı yoktur. Ağrı ve yavaş ilerleyen kitle semptomlar arasındadır. 5 yıllık yaşam % 50 civarındadır. Uzun kemiklerin metafizinden kaynaklanır. Sıklıkla femuru tutar. Kotlarda ve tibiada görülür. Tümör genellikle pür osteolitik yapıdadır. Trabekülasyon göstermez. Kemik infaktı veya dens kalsifikasiyon odakları olabilir. Korteks destrüksiyonu sıklıkla permiyatif tiptedir. Ekspansiyon daha sık küçük kemiklerde görülür. Lameller tarzda kemik periost reaksiyonu görülür.

## GEREÇ VE YÖNTEM

Çalışmamızı tanıları histopatolojik olarak doğrulanmış 50 primer kemik tümörü üzerinde yaptık. 50 olgunun 17'si kadın 33'ü erkek olup tümü 7-75 yaşları arasındadır. Hastalarımızın yaş ortalaması 32,7'dir.

Direkt grafileerde heliophos 4E simens 500 MV kullanılmıştır. Bilgisayarlı tomografik tetkiklerde II. ve III. jenerasyon tüm vücut bilgisayarlı tomografi cihazları olan SOMOTOM-2 ve GE-CGR 12000 kullanılmıştır.

İncelemelerde lokalizasyonlar farklı olduğu için hasta çeşitli pozisyonda ve açıda yatırılmıştır. SOMOTOM-2 re 2 mm ve 8 mm'lik kollimasyon 125 kVP 115 m AS'la veya 420 kVP, 720 MAS'la CGR-CE 12000'de 5 mm kollimasyon 130 kVP 39x3, 4m AS alınmıştır.

Tubuler kemiklerde 2-8-10 mm'lik kesitlerle çalışılmıştır. Kontrast madde gerektiğinde kullanılmıştır. Ancak pelvis gibi anatomik yapıları karmaşık lokalizasyonda tümörün yumuşak doku komponentinin sınırlarını çevre organlarından net ayırt etmek için intravenöz kontrast madde verilmiştir.

**OLGU 6**

İSİM	:	A.Ç.
YAŞ	:	17
CİNSİYET	:	ERKEK
PROTOKOL	:	8007
KLİNİK	:	Sağ dizde ağrı, yürüyememe

**KONVANSİYONEL GF BULGULARI:** Sağda femur ve tibiada metafizo-epifizer yerleşimli işinsal tarzda periost reaksiyonu olan yaygın sklerotik lezyon.

**BT BULGULARI:** Sadece tibiada, periost reaksiyonu olan meduller kanalı tutan, yumuşak doku komponenti olan sklerotik tümöral kitle.

**HİSTOPATOLOJİK TANI:** OSTEOSARKOM



OLGU: 6 Resim I. İşınsal tarzda periost reaksiyonu olan sklerotik lezyon



OLGU 6: Resim II. Meduller kanalı tutan yumuşak doku komponenti olan pür sklerotik tümör

**OLGU 10**

İSİM : İ.B  
YAŞ : 75  
CİNSİYET : ERKEK  
PROTOKOL : 4327

**KLİNİK:** Göğüs orta hatta şişlik, ağrı

**KONVANSİYONEL GF BULGULARI:** Akciğer grafisinde orta mediastende genişleme.

**BT BULGULARI:** Sternumu dextrükte edip, öne herniye olan, posteriorda v.cava süperioru invaze eden, içinde amorf kalsifikasyonalı olan tümöral kitle

**HİSTOPATOLOJİK TANI:** KONDROSARKOM



OLGU: 10 mediastende bilateral genişleme



OLGU 10: Mediastene ve büyük damar yapılarına uzanan, orta hatta büyük bir kitle oluşturan sternumda dextrüksiyona neden olan tümöral kitle

**OLGU 15**

İSİM : M.Ş.  
YAŞ : 21  
CİNSİYET : Erkek  
PROTOKOL : 2590  
KLİNİK : Sağ elde ağrı ve şişlik.

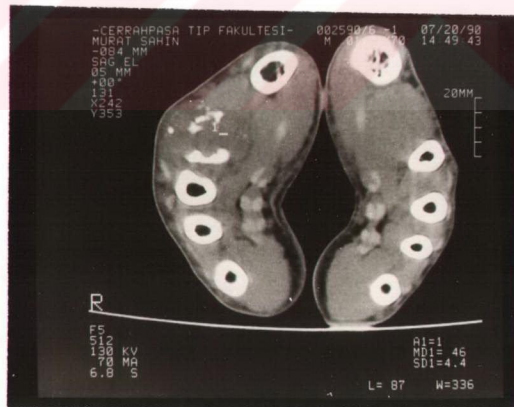
**KONVANSİYONEL GF BULGULARI:** Sağ elde II. metakarp distalinde expansiyona neden olan yer yer litik ve sklerotik alanları olan lezyon

**BT BULGULARI:** 2. metakarpta expansiyona neden olan, meduller kanalı tümüyle dolduran, kemik bütünlüğünü bozan tümöral kitle

**HİSTOPATOLOJİK TANI:** HEMONGİOSARKOM



OLGU: 15 Resim I. Sağ elde II. metakarp proksimalinde expansiyon yapan miks lezyon



OLGU 15: Resim II. Metakarpda karpometakarpal ekleme uzanan, expansiyona ve dextrüksiyona neden olan tümöral kitle.

**OLGU 20**

İŞİM	:	M.İ.
YAŞ	:	20
CİNSİYET	:	Erkek
PROTOKOL	:	2337
KLİNİK	:	Sol omuzda ağrı, hareket kısıtlılığı

**KONVANSİYONEL GF BULGULARI:** Sol humerus metafiz diyafiz ve meduller kanalda yaygın litik ve sklerotik imajlar mevcuttur.

**BT BULGULARI:** Humerusta kontur düzensizliği, meduller kanal yerleşimli multipl kalsifikasyonları olan glenoid fossaya uzanan tümöral kitle.

**HİSTOPATOLOJİK TANI:** MEDULLER KONDROSARKOM



OLGU: 20 Resim 1. Sol humerusta multipl kalsifikasyonu olan tümöral kitle



OLGU 20: Resim II. Sol humerusta (metafiz-epifiz-diyafiz) sol omuza uzanan fossa gelenoidalisi dextrükte eden tümöral kitle

**OLGU 23**

İSİM : F.K.  
YAŞ : 21  
CİNSİYET : KADIN  
PROTOKOL : 5582

**KLİNİK:** Sağ kalçada ağrı, yürüyememe ve şişme.

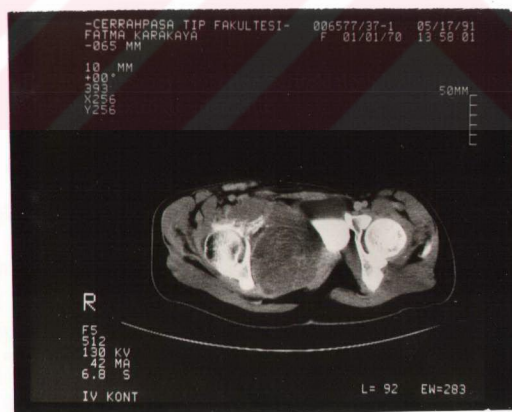
**KONVANSİYONEL GF BULGULARI:** Sağ os pubiste kontur düzünlüğü, expansiyon ve litik alanlar.

**BT BULGULARI:** Sağda mesaneye sola iten, perirektal yağlı alanları kapatan, femur metafizine dek uzanan, os pubisi dextrükte eden pür litik kitle

**HİSTOPATOLOJİK TANI:** EWİNG SARKOMU



OLGU: 23 Resim 1. Sağ os pubiste pür litik kitle



OLGU 23: Resim II. Sağda mesaneye sola iten perirektal yağlı alanları kapatan, asetabulum ön dudağını dextrükte eden kitle

**OLGU 24**

İSİM : A.K  
YAŞ : 57  
CİNSİYET : ERKEK  
PROTOKOL : 5403  
KLİNİK : Sırtının sağında ağrı.

**KONVANSİYONEL GF BULGULARI:** Sağ skapulada expansiyon ve litik alanlar içeren lezyon

**BT BULGULARI:** Sağ skapulada dextrüksiyona ve kalsifikasyona neden olan, yumuşak doku komponenti bulunan, toraks duvarına dek uzanan tümöral kitle

**HİSTOPATOLOJİK TANI:** KHONDROSARKOM



OLGU: 24 Resim 1. Sağ skapulada expansiyon ve multipl litik alan



OLGU 23: Resim II. Sağ scapulada dextrüksiyon, yumuşak doku kitlesi ve yaygın kalsifikasyonlar olan tümöral kitle

**OLGU 30**

İSİM : O.K  
YAŞ : 12  
CİNSİYET : Erkek  
PROTOKOL : 5499  
KLİNİK : Sağ bacakta ağrı ve şişme.

**KONVANSİYONEL GF BULGULARI:** Sağ femur metaphiz-diafizinde skleroz ve periost reaksiyon gösteren tümöral kitle

**BT BULGULARI:** Tüm meduller kanalı tutan, işinsal tarzda periost reaksiyonu yapan, yumuşak doku komponenti bulunan tümöral kitle.

**HİSTOPATOLOJİK TANI:** PAROSTEAL OSTEOSARKOM



OLGU 30: Resim I. Sağ femur metafizer, diyafizer yerleşimli, periost reaksiyonu ve yeni kemik oluşumu mevcut



OLGU 30: Resim II. Tüm medullar kanalı tutan yumuşak doku kompeninti olan, işinsal tarzda periost reaksiyonu gösteren tümöral kitle

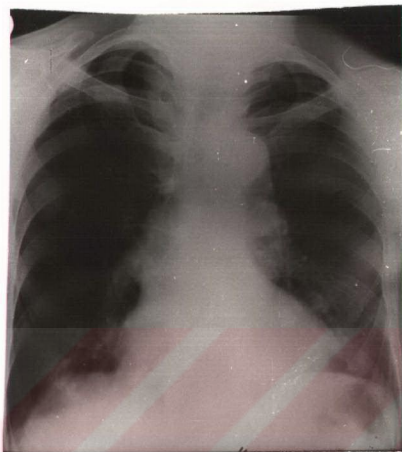
**OLGU 31**

İSİM : G.Y  
YAŞ : 56  
CİNSİYET : Kadın  
PROTOKOL : 4441  
KLİNİK : Göğüs ön duvarında şişlik, öksürük.

**KONVANSİYONEL GF BULGULARI:** Mediastende minimal genişleme, aort krosu belirgin

**BT BULGULARI:** Sternumda expansiyona ve kontur bütünlüğünü bozan süperior vena cavayı tracheayı komprese eden sağda kitle.

**HİSTOPATOLOJİK KİTLE:** PLAZMASİTOM



OLGU: 31 Resim 1. Akciğerde üst mediastende minimal genişleme



OLGU 31: Resim II Sternumda expansiyona neden olan trakeayı sağdan kompere eden V.cava süperior laterale iten tümöral kitle

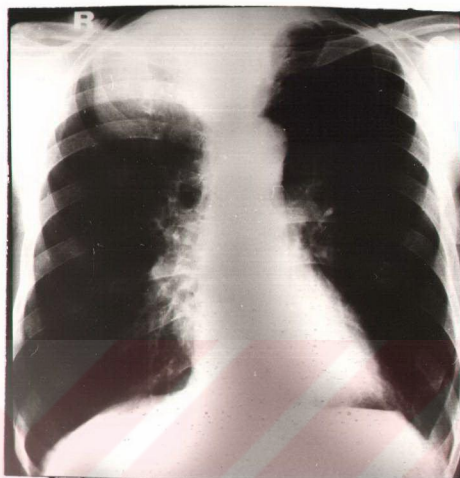
**OLGU 36**

İSİM : İ.A  
YAŞ : 68  
CİNSİYET : Erkek  
PROTOKOL : 1968  
KLİNİK : Göğüs ön duvarında ağrı ve şişme.

**DİREKT GF BULGULARI:** Sağda akciğer üst lobunda yayın kondansasyon

**BT BULGULARI:** Sağda troid lojundan başlayan sağ klavikülayı dextrükte eden, aort krosu seviyesine dek uzanan, içinde kalsifikasyon odakları bulunan tümöral kitle.

**HİSTOPATOLOJİK TANI:** KHONDROSARKOM



OLGU: 36 Resim 1. Akciğerde sağda üst lobda üçgen şeklinde kondansasyon



OLGU 36: Resim II Sağda içinde kalsifikasyonları olan, klavikülayı dextrükte eden kondrosarkom

**OLGU 38**

İSİM : A.A  
YAŞ : 16  
CİNSİYET : Erkek  
PROTOKOL : 7041

**KLİNİK:** Sağ kolda ağrı, şişme, hareket kısıtlılığı

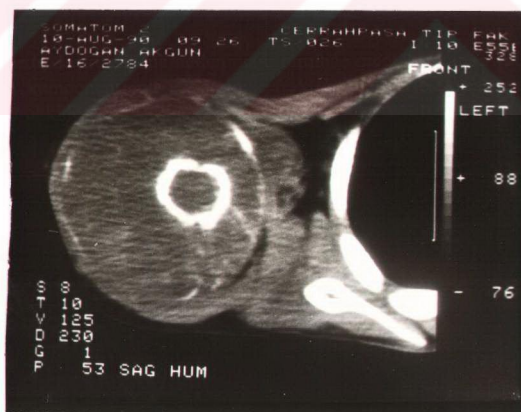
**KONVANSİYONEL GF BULGULARI:** Sağ humerusta metafize-di-yafizer yerleşimli, periost reaksiyonu yapan patolojik fraktürü olan ve yumuşak dokusu olan tümöral kitle.

**BT BULGULARI:** Tüm medullayı tutan korteks bütünlüğünü bozan kemiği çevreleyen yumuşak doku komponenti olan axiller fossaya uzanan tümöral kitle.

**HİSTOPATOLOJİK TANI:** OSTEOSARKOM



OLGU 38: Patolojik fraktürü ve periost reaksiyonu olan meduller kanalı tutan sklerotik ve litik lezyonları bulunan lezyon.



OLGU 38: Kortekte dextrüksiyona neden olan, tümüyle meduller kanalı tutan, yumuşak doku komponenti olan, patolojik fraktürü ve periost reaksiyonu bulunan tümöral kitle.

**OLGU 39**

İSİM : E.R.  
YAŞ : 39  
CİNSİYET : Kadın  
PROTOKOL : 1719  
KLİNİK : Baş ağrısı.

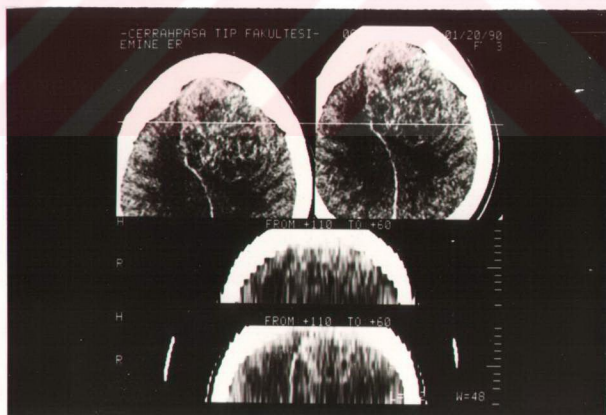
**KONVANSİYONEL GF BULGULARI:** Lateral grafide önde frontal bölgeyi tutan dansite artımı.

**BT BULGULARI:** Falx'da shift etkisi yapan yer yer hipodans yer yer hyperdens her iki sentrum semiovaleyi laterale iten tümöral kitle.

**HİSTOPATOLOJİK TANI:** FALX KONDROSARKOMU



OLGU: 39 Resim 1. Anteriorda, keskin sınırları olmayan dansite artımı



OLGU 39: Resim II Falksi yaylandıran, non-homojen boyanan, anteriorda, centrum semi-ovaleye dek uzanan tümöral kitle.

**OLGU 41**

İSİM : K.B.  
YAŞ : 41  
CİNSİYET : Erkek  
PROTOKOL : 8143  
KLİNİK : Sağ dizde ağrı

**KONVANSİYONEL GF BULGULARI:** Sağ femur epifiz ve metafizinde pür litik, kortexsi lateralde dextrükte eden lezyon.

**BT BULGULARI:** Femur kondyler seviyesinde eklem kapsülüne giren, litik kalsifikasyon göstermeyen, keskin konturlu tümöral kitle.

**HİSTOPATOLOJİK TANI:** FİBROSARKOM



OLGU 41: Resim I Sağ femurda metafiz yerleşimli epifize uzanan, keskin konturlu, korktakste dextrüksiyona neden olan, litik lezyon



OLGU 41: Resim II. Sağ femurda pür litik eklem kapsülüne giren tümöral kitle

**OLGU 43**

İSİM : H.K.  
YAŞ : 27  
CİNSİYET : Kadın  
PROTOKOL : 379  
KLİNİK : Kuyruk sokumunda ağrı.

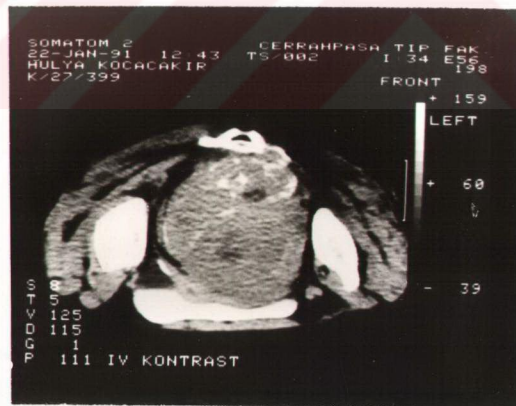
*KONVANSİYONEL GF BULGULARI: Sakrumda expansiyona neden olan pür litik lezyon*

*BT BULGULARI:* Sakrumda ve sol iliac kemikte presakral lokalizasyonda uterusu ve mesaneye komprese eden pelvis girimine dek uzanan tümöral kitle.

*HİSTOPATOLOJİK TANI: GR3 DEV HÜCRELİ TÜMÖR*



OLGU: 43 Resim 1. Sakrumda expansiyon, litik dektrüksiyon



OLGU 43: Resim II. Presakral yerleşimli, tüm pelvisi dolduran içinde kalsifikasyonlar olan sakrumu ve sol iliac kemigi, bilateral sacroiliak eklemi tutan tümöral kitle.

KONVANSİYONEL GF BULGULARI BT BULGULARI																
	Hasta Adı	Protokol No	Yaş	Cins	Histopatolojik Tanı	Lokalizasyon	Mat Diy Jz	Epi Jz	Sen Jz	Kar Jz	Me Jz	Y Pal Dok Jz	Kal Per Med Re.	Sarı Fm	Y Palt Uza Kal Fm	Pri Ta. Reak.
1	M.G.	5596	58	K	Kordoma	Sacrum	+	+	-	-	+	-	-	+	+	-
2	M.D.	8274	57	E	Plazmasitom	Sternum	+	+	-	-	+	-	-	+	-	-
3	B.D	20834	20	E	Ewing	Sağ Iliak	+	+	-	-	-	-	+	+	-	+
4	Y.B.	15227	17	E	Khondrosarkom	Sol Iliak	-	+	-	-	+	-	+	+	-	+
5	A.Y.	22420	20	E	Osteosarkom	Sol Femur	+	-	+	+	+	-	+	+	-	+
6	A.C.	8007	17	E	Osteosarkom	Sağ Tibia	+	+	+	-	-	+	+	-	+	-
7	Y.D.	8084	18	E	Yuv.H.Tüm.	Sol Iliak	+	+	+	-	-	+	+	-	-	-
8	B.T.	7881	13	E	Osteosarkom	Sağ Femur	+	+	-	-	+	+	-	+	-	+
9	O.U	6772	54	E	Khondrosarkom	Sakrum	-	+	-	-	-	+	+	+	-	-
10	I.B.	4327	75	E	Khondrosarkom	Sternum	+	-	-	-	-	+	-	+	-	-
11	M.K.	4064	16	E	Osteosarkom	Sağ Humerus	+	-	+	+	-	+	-	+	-	-
12	S.A.	2953	45	K	P.osteosarkom	Sol Femur	+	+	-	+	+	-	+	+	-	+
13	Z.A.	1752	51	K	Fibrosarkom	Sağ Humerus	+	-	+	-	-	+	-	+	-	-
14	E.G.	2502	55	K	Fibrosarkom	Sağ Femur	+	+	-	-	-	+	-	+	-	-
16	M.D.	1882	24	E	Kondrosarkom	Sol I. Metatars	+	+	-	-	-	+	-	+	-	-
16	M.D.	1882	24	E	Kondrosarkom	Sağ	+	+	-	-	-	+	-	+	-	-
17	S.T.	2562	23	K	Dev Hü.Cm.	Sağ Radius	+	+	-	-	-	+	-	+	-	-
18	C.I.	2381	13	K.	Osteosarkom	Sağ Fibula	+	+	+	+	+	+	+	+	-	+
19	E.Z.	2630	43	E	Khondrosarkom	Sağ Pubis	-	-	-	-	-	-	-	+	-	-
20	M.I	2337	37	E	Khondrosarkom	Sol Humerus	+	+	-	-	-	+	-	+	-	-
21	R.Y.	2275	7	K	Ewing	Sağ Humerus	+	+	+	-	-	+	+	-	-	-
22	S.T.	5708	38	K	Osteosarkom	Sol Femur	+	-	+	+	+	+	+	+	-	+
23	F.K.	5582	21	K	Ewing	Sağ Os Pubis	+	+	-	-	-	+	+	-	-	-
24	A.K	5403	57	E	Khondrosarkom	Sağ Skapula	-	-	-	-	-	+	+	-	+	-
25	R.D	7100	11	K	Osteosarkom	Sağ Femur	+	-	+	-	+	+	-	+	-	+

	Hasta Adı	Protokol No	Yaş	Cins	Histopatolojik Tanı	Lokalizasyon	KONVANSİYONEL GF BULGULARI										BT BULGULARI									
							Met.Dfz	Epi.Dfz	Kor.Dfz	Me.Dfz	Y.Dfz	Pat.Kul.	Per.Med.	Son.Y	Pat.Uza.	Kal.Fru	Fru	Ta.kanal								
26	Z.K.	5471	17	E	Osteosarkom	Sol Tibia	+	+	+	-	-	-	-	-	+	+	-	+	+	+	+	-	-	-	-	-
27	H.Ö	5025	41	E	Khondrosarkom	Sella	-	-	-	-	-	-	-	-	-	-	-	-	-	-	-	-	-	-	-	-
28	Z.T	5804	57	K	P.Sarkom	Sol Fibula	+	+	-	-	-	-	-	-	-	-	-	-	-	-	-	-	-	-	-	-
29	E.B.	5798	66	E	P.Osteo.	Sağ Femur	+	-	-	-	-	-	-	-	-	-	-	-	-	-	-	-	-	-	-	-
30	O.K.	5499	12	E	P.Osteosarkom	Sağ Femur	+	+	-	-	-	-	-	-	-	-	-	-	-	-	-	-	-	-	-	-
31	G.Y.	4441	56	K	Plazmasitom	Sternum	+	-	-	-	-	-	-	-	-	-	-	-	-	-	-	-	-	-	-	-
32	K.P.	4639	13	E	Ewing	Sağ Femur	+	+	-	-	-	-	-	-	-	-	-	-	-	-	-	-	-	-	-	-
33	H.D	5016	16	E	Osteosarkom	Sol Femur	+	-	-	-	-	-	-	-	-	-	-	-	-	-	-	-	-	-	-	-
34	T.S.	5680	14	K	Osteosarkom	Sol Femur	+	+	+	+	+	+	+	+	+	+	+	+	+	+	+	+	+	+	+	+
35	M.G.	4031	17	E	Osteosarkom	Sol Fibula	+	+	-	-	-	-	-	-	-	-	-	-	-	-	-	-	-	-	-	-
36	I.A	1963	63	E	Khondrosarkom	Sağ Klavikulo	-	+	-	-	-	-	-	-	-	-	-	-	-	-	-	-	-	-	-	-
37	R.A	8021	42	K	P.Osteosarkom	Sağ Femur	+	-	-	-	-	-	-	-	-	-	-	-	-	-	-	-	-	-	-	-
38	A.A.	7041	16	E	Osteosarkom	Sağ İlomerus	+	+	+	+	+	+	+	+	+	+	+	+	+	+	+	+	+	+	+	+
39	E.E	1719	35	K	M.K.S.	Falk Serebrî	+	-	-	-	-	-	-	-	-	-	-	-	-	-	-	-	-	-	-	-
40	E.K	2618	44	E	M.Kille	Sol Femur	+	+	+	-	-	-	-	-	-	-	-	-	-	-	-	-	-	-	-	-
41	Ş.K	7406	16	K	Ewing Sarkomu	Os İskii	+	+	-	-	-	-	-	-	-	-	-	-	-	-	-	-	-	-	-	-
42	H.K	399	27	K	Dev Hü.Tm.	Sakrum	+	+	-	-	-	-	-	-	-	-	-	-	-	-	-	-	-	-	-	-
43	M.Y.	2766	22	E	Dev Hü.Tm.	Sağ İlak	+	+	-	-	-	-	-	-	-	-	-	-	-	-	-	-	-	-	-	-
44	N.K.	1086	49	E	M.H.So	Sağ Tibia	+	+	-	-	-	-	-	-	-	-	-	-	-	-	-	-	-	-	-	-
45	B.K.	2182	60	E	Osteosarkom	Sol Humerus	+	+	+	-	-	-	-	-	-	-	-	-	-	-	-	-	-	-	-	-
46	I.A	2105	19	E	Osteosarkom	Sol Tibia	+	+	-	-	-	-	-	-	-	-	-	-	-	-	-	-	-	-	-	-
47	Sağ A.	1093	45	K	P.Osteosarkom	Sağ Femur	+	+	-	-	-	-	-	-	-	-	-	-	-	-	-	-	-	-	-	-
48	N.A.	20518	29	E	Dev Hü.Tm.	Sağ Femur	+	-	-	-	-	-	-	-	-	-	-	-	-	-	-	-	-	-	-	-
49	M.C.	2181	20	E	Ewing Sarkomu	Sağ İlak	+	+	-	-	-	-	-	-	-	-	-	-	-	-	-	-	-	-	-	-
50	K.B	8143	23	E	Fibro Sarkom	Sağ Femur	+	-	-	-	-	-	-	-	-	-	-	-	-	-	-	-	-	-	-	-

M.K.S.: Mezenşimal Kondrosarkom  
M.H.S.: Malign Histiot Sarkom

## B U L G U L A R

Primer malign kemik tümörü olan 50 olgudan 17'si kadın 33'ü erkek olup lezyonların histopatolojik tanılarının yaş grubuna göre dağılımı tablo 1'de gösterilmiştir.

<i>Yaş Grubu</i>	<i>Tümör</i>	<i>Olgı Sayısı</i>
0-1	Ewing	1
11-20	Kondrosarkom	1
	Osteosarkom	14
	Ewing	3
	Yuvarlak Hücreli Tümör	1
21-30	Dev Hücreli Tümör	4
	Fibrosarkom	1
	Ewing	1
	Kondrosarkom	1
	Hemanjiosarkom	1
31-40	Kondrosarom	2
	Osteosarkom	1
41-50	Osteosarkom	3
	Kondrosarkom	1
	Mezenşimal Kitle	1
	Malign Histo Sarkom	1
51-60	Osteosarkom	1
	Plazmasitom	2
	Fibrosarkom	3
	Kondrosarkom	2
61-70	Osteosarkom	2
	Kondrosarkom	1
71-80	Kondrosarkom	1
	Toplam	50

50 olgunun histopatolojik tanıları 19 osteosarkom, 1 kondrosarkom, 6 ewing sarkomu, 4 dev hücreli tümör 4 fibrosarkom, 2 plazmasitom, 1 yuvarlak hücreli, 1 mezenkimal kondrosarkom, 1 malign histiosarkom, 1 kordoma, 1 hemanjioma sarkomdur.

Primer malign kemik tümörlerinin tanısında ve tedavisinde yardımcı olan kriterler lokalizasyon, yaş, yoğunluk, periost reaksiyonu, yumuşak doku kitlesi, kalsifikasyon, yerleşim, meduller kanal tutulumudur. Bu bulgular BT ile direkt grafiler arasında karşılaştırılmıştır.

#### **LOKALİZASYON:**

Primer malign kemik tümörlerinde tümörün kaynaklandığı lokalizasyon önemlidir. Serimizde metafizden 27, diafizden 19, epifizden 7 olgu menşeyini almaktadır. Metafizden kaynaklanan 27 logudan 19'u osteosarkomdur.

#### **YAŞ:**

Malign kemik tümörlerinde yaş tanıyı kolaylaştıran bir etkendir. Serimizde bulunan dev hücreli 4 olgunun tümü epifiz plaklarının kapanma yaşından sonradır. Yine çalışmamızda osteosarkom olguları 10-20 yaş arasında belirgin bir artış gözlenmiştir.

#### **YOĞUNLUK:**

BT ile pür litik tümörlerde yoğunluk yumuşak doku yoğunluğununda saptandı ossöz kaynaklı tümörlerde ise yoğunluk kemik yoğunlığında idi.

## **PERİOST REAKSİYON**

Tümörün tanısında, periost reaksiyonu belirgin bir katkı sağladı. Kondrosarkomlu olguların tümünde periost reaksiyonu görülmeli. BT'nin direkt grafiden üstünlüğü yoktu.

## **YUMUŞAK DOKU KİTLESİ:**

Olgularımızın 45'inde yumuşak doku komponenti vardı. Konvansiyonel grafilerle ancak 25 olguda yumuşak doku kitlesi olduğuna karar verildi.

## **KALSİFİKASYON:**

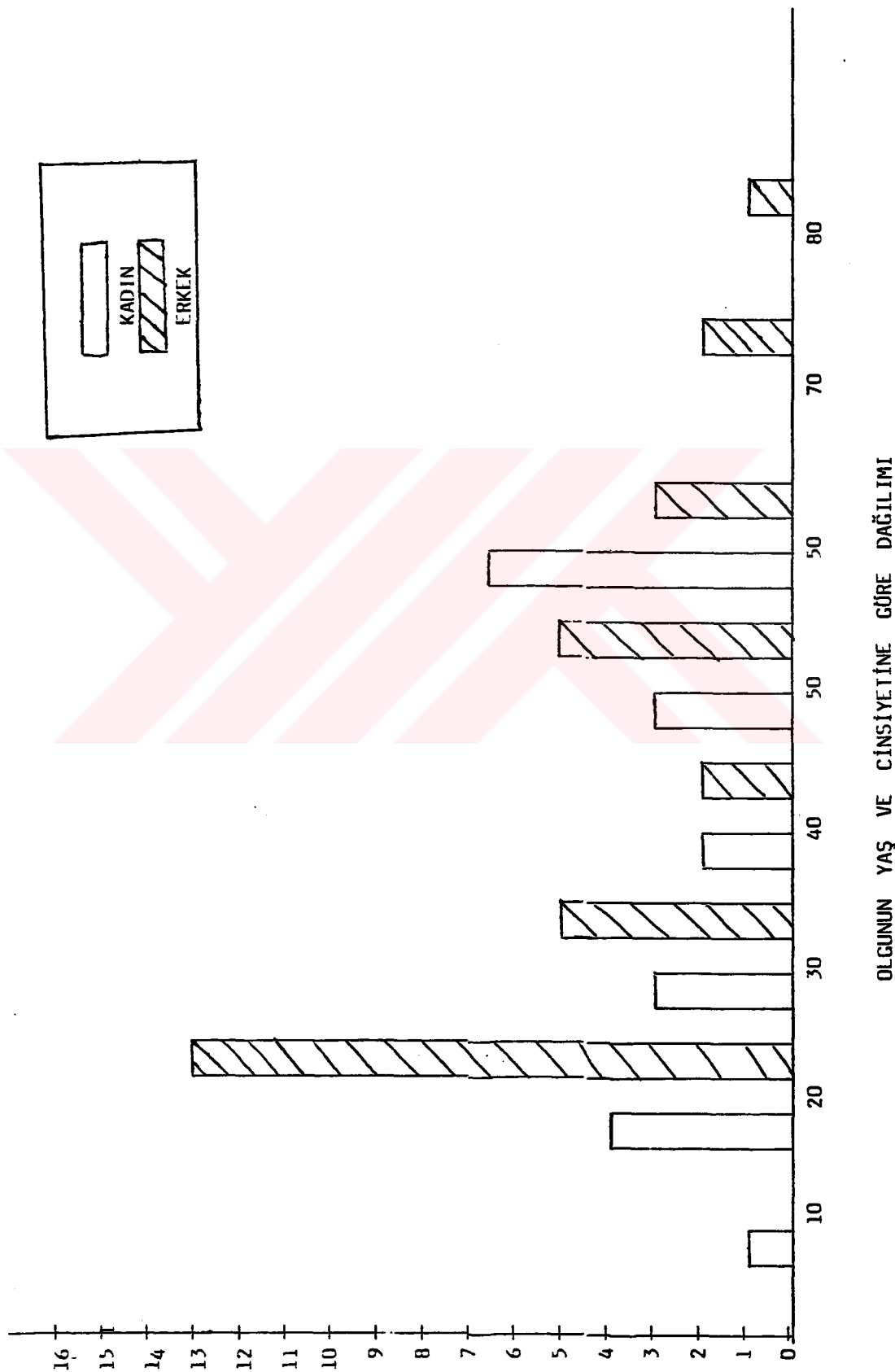
50 olgudan BT ile 31 olguda kalsifikasyon saptanırken direkt grafilerde ise sadece 23'ünde görüldü. En yaygın olarak kalsifikasyon kondrosarom ve osteosarkom olgularında izlendi. Dev hücreli tümörlerin hiçbirinde kalsifikasyon yoktu.

## **YERLEŞİM (SENTRİK-EKSENTRİK)**

Tümörün tanısında santral veya eksentrik yerleşim, kortex, medulla ve periostdan kaynaklandığını bilmek önemliydi. Serimizde ewing sarkomlu tüm olgular meduller kaviteden kaynaklanmaktadır.

## **MEDULLER KAVİTE TUTULUMU:**

Meduller bölgenin tutulumunun saptanmasında BT direkt grafilerde göre üstün (19%). Ayrıca meduller kanal tutulumu ayrıcı tanıda yardımcı oldu. Örneğin periosteal osteosarkomlarda meduller tutulmayışı diğer osteosarkomlardan farklı bir özelliği.



## İ R D E L E M E

Primer malign kemik tümörlü hastalarımız en sık, ağrı ve lezyon bölgesinde şişmeden şikayetçiydiler. Bu semptomlar bize sadece lezyonun hangi tarafta olduğu konusunda yardımcı olmuştur. Kısacası tipik ve spesifik bir semptomla karşılaşmadık.

Birçok yazar malign kemik tümörlerinde BT ile tanının sınırlı olduğunu vurgulamaktadır. Bizim yaş, cinsiyet, semptom, anatomik lokalizasyon, radyolojik görünüm kombinasyonu ile biopsi öncesi tümör hakkında genel bir bilgimiz olmakta idi. BT bize konvansiyonel grafiler ile saptayamadığımız ek bilgiler verdi. Patoloğa tümör natürü konusunda temel bilgiler verilmiş ve son tanı biopsi ile elde edilmiştir. 50 olgudan sadece 1'inde histopatolojik yorum yapılamamıştır. Bu olgu primer kemik tümörlerinden çok ender görülen 2. metakarp yerleşimli hemanjiosarkomdu.

Abdominal ve pelvis lokalizasyonunda kesin yumuşak doku uzanımını saptamak gereklidi. Lezyonun uzanımı ve hacmi operabilite kriteridir(16). Örneğin femur inferior metafizinden kaynaklanan ostesarkomlu bir olguda popliteal arter ve ven infiltre olduğundan hasta cerrahi tedaviden vazgeçirilip kemoterapi ve radyoterapiye verilmiştir. Yine diğer pelvis lokalizasyonunda ewing sarkomlu olguda tümör orta hattı ve sakroiliak eklemi geçmesi nedeniyle pelviectomi yapılmayarak embolizasyon ve radyoterapi planlanmıştır.

Serimizde 50 olgudan 45'inde yumuşak doku kitlesi mevcuttu. Ancak 25 olgudaki yumuşak doku uzanımı BT ile açıkça gösterildi ve ayrıca klinisyene uzanımları hakkında ayrıntılı bilgi verildi. BT'de aksiyel kesitlerde lezyonlu tarafın karşı kesitleride aynı anda değerlendirildiğinden küçük bir yumuşak doku kitlesi dahi gözden kaçmamaktadır(7,6).

BT yușumak dokudaki kalsifikasyonların saptanmasında direkt grafilerden daha üstündür(16,34). Kalsifikasyon dağılımı miktarı, tipi tümörün tanısı açısından yardımcı olmaktadır. Olgularımızı 8'inde kalsifikasyon direkt grafilerde saptanmaz iken BT ile açıkça gösterilmiştir (% 8). Ossöz tümörler (osteosarkom gibi) daha yüksek dansitede matrikse sahiptirler ve bazı olgularımızda ossöz ve kartilajinöz matriks kalsifikasyonlarının ayırcı tanısı yapılmamıştır.

Çalışmamızda 50 olgudan 9'unda patolojik fraktür vardı. Konvansiyonel grafiler ile 7'si görülemedi 2 olguda tümör sentral yerleşimliydi (% 22).

Normal olarak intrameduller kavite uzun kemiklerde yağ dansitesindedir (-50, -80HU). Tümör meduller kaviteyi tuttuğundan dansite artar vbu tutulum son derece önemlidir. Cerrahın amputasyon seviyesini belirler. Ayrıca özellikle ewing sarkomlu hastalarda geçmişte tüm ekstremiteler işinlanırken şimdi meduller kavitenin tutulduğu lokalizasyon işinlanmaktadır.

Meduller tutulumun olup olmadığını bilmek osteosarkomların tiplerini saptamada yardımcı olur. Örneğin periosteal sarkomlu meduller tutulumu olmazken diğer tüm osteosarkom tiplerinin terminal dönemlerinde meduller kavite tutulmaktadır(49).

50 olgudan 48'inde meduller kavite tutulumu mevcuttu. Konvansiyonel grafiler ile 39 olguda meduller kanal tutulumu saptanırken 9 olguda saptanmadı. BT 9 olguda açıkça tümörün meduller kaviteyi infiltre ettiğini gösterdi (% 19).

Ancak BT infeksiyon ile tümöral tutulum arasındaki ayırcı tanıyı yapamamaktadır. Her ikisinde de yüksek dansitede alanlar görür(20,23).

Gerektiğide meduller kanalın genişliği BT ile saptandı ve kullanılacak protezin genişliği öğrenilmiş oldu ayrıca tüm olgularda gerçek tümör uzanımı verilmiş olduğundan protezinde uzunluğu elde edilmiş oldu.

Erken ve küçük periosteal değişiklikler BT ile net değerlendirilmeyebilir. Serimizde BT filmleri ile konvansiyonel grafiler arasında periost reaksiyonunu saptamada fark görülmeli.

BT anatomik ilişkileri göstermede direkt grafilerden çok üstün dür. Örneğin vertebra yerleşimli bir kemik tümöründe retroperitoneal bölgeye yayılımı direkt grafilerle mümkün değildir(3,7). Tümör ve çevre dokularla ilişki tüm olgularda ayrıntılı olarak BT ile gösterildi. Bu da cerrahi yaklaşık için temel bilgilerdir.

Biz bu çalışmamızda 50 olgudan 49'unda konvansiyonel grafide tümörü saptadık. Sadece 1 olguda direkt grafi ile görülmeli ve BT ile saptandı (% 2). Tümör presakral lokalizasyondaydı. Retrograd incelendiğinde kemik yapıda minimal dekstrüksiyon mevcuttu. Histopatolojik tanı ise kordoma idi.

BT'nin malign kemik tümörlerinin saptanmasında değeri sınırlı olmasına rağmen önemi göz ardı edilemez. Bazı malign kemik tümörleri yüzeysel kemiklerden kaynaklanır ve kemik doğal görünümdedir. Ayrıca var olan yumuşak doku komponentide saptanmaz. Örneğin spinal vertebra göğüs duvarı, pelvis gibi lokalizasyonlarda konvansiyonel grafilerle gözden kaçabilir. Çevre dokular ve karmaşık anatomik yapılar kemiği kapatmaktadır.

Çalışmamızda primer tanıda BT'nin 50 olgudan 2'sinde direkt yararlı olduğunu saptadık (% 4). Her iki vakada sentral tümörler idi.

Birçok yazar BT'nin tümör uzanımlarında % 30-70 arasında değişen oranda kesin lokalizasyon verdiği yazmaktadır. Bizim çalışmamızda olgular biraz daha geç değerlendirildiği için tümör uzanımlarında BT, literatüre göre daha fazla yardımcı olmuştur. Serimizde BT 50 olgudan 45'inde tümör uzanımları konusundan direkt temel bilgiler verirken 5 olguda ise konvansiyonel grafiler ile de ayrıntılı veriler alınmıştır.

BT'nin malign kemik tümörlerinde primer tanısı kadar tedaviyede katkılarda vardır.

Hastalarımızın 3'ünde BT ile tümörün yumuşak doku kitlesinin olmadığını göstererek hastalar amputasyona aday iken en blok rezeksiyon yapılmıştır. Hastaların ekstremitelerine konservatif cerrahi uygulanmıştır.

De Santoz ve arkadaşları postoperatif takipte BT'nin önemini vurgulamaktadır(14). 67 post-operatif şüpheli rekürrensi olan hasta BT ile incelenmiştir. 40 hastada kesin olarak rekürrens saptanmıştır (% 78). Bizim çalışmamızda ise 5 haftada post-operatif takip yapılmıştır, 3'ünde lezyon tubuler kemiklerde iken 2'sinde santral lokalizasyondaydı. (Sellada kondrosarkom-kotda osteosarkom). Santral lokalizasyonlardaki lezyonlar konvansiyonel grafilerle saptanamazken BT rekürrensi açıkça göstermiştir.

Cerrahi klipler ve metalik protezler BT incelemelerinde artefakt yaptığından yeterli bilgi alınmamaktadır. Bazen rezidü ve rekürrens olgularının atlanması neden olmaktadır. Böyle olgularda MRI önerilmektedir. Hemoraji, artefakt, yumuşak dokunun non-homojen görünümüne sebebiyet verir. Bu da rekürrens olarak değerlendirilebilir(33,34).

## S O N U Ç

Primer malign kemik tümörlerinde etyoloji kesin bilinmemekle beraber birçok etken suçlanmaktadır. En sık 15-20 yaşlarında görülmesi diğer tümörlerden ayıran önemli özelliklerdir. Tüm kanser ölümlerinin % 1'i kemik tümörleri nedeniyedir.

Malign kemik tümörlerinde yaş lezyon sayısı, tutulan kemiğin tipi, kemikteki yerleşim yeri, yapılan kemik değişikliklerinin yapısı ve derecesi lezyonun kenar görünümü, birlikte yumuşak doku kitlesinin varlığı tanıda yardımcı olan etkenlerdir.

Çalışmamızda konvansiyonel grafilerin halen önemini koruduğunu, ancak BT'nin ayrıntılı tümör uzanımını vermede, santral lokalizasyonlu tümörlerin tanısında, büyük damar ve sinir tulumunu göstermede, patolojik fraktür ve yumuşak doku kitlesinin varlığını saptamada, tedavi planlamasında üstün olduğunu gördük.

Ancak tek başına BT tümörün histopatolojik tanısını belirtmede yetersizdir. Klinik, konvansiyonel grafiler, patoloji sonucu BT bulguları birlikte değerlendirilmeli ve hastaya en uygun tedavi planlanmalıdır.

## Ö Z E T

**Primer malign kemik tümörlerinin tanı ve tedavisinde klinik, patolojik bulgular radyolojik yöntemlerle birlikte değerlendirilir.**

BT, primer malign kemik tümörlerinin tanısında uzanımının tespit edilmesinde ve buna göre tedavinin planlanmasında başarı ile kullanılmaktadır.

Çalışmamızda malign kemik tümörü olan 50 olgunun ayırıcı tanısında tedavi planlanmasında direkt grafi bulguları ile BT bulgularını karşılaştırdık. Olgularımız arasında osteosakrom, kondrosakrom, ewing sarkomu, fibrosakrom, dev hücreli tümör, plazmositom, hemanjiosarkom, kordoma, malign histiosarkom, yuvarlık hücreli tümör bulunmaktadır.

BT'nin malign kemik tümörlerinde üstün olduğu hususları belirttik. Ancak malign kemik tümörlerinde tanı ve tedavinin ideal yaklaşımı direkt grafi ile BT bulguları kombine edildiğinde mümkün olduğuna karar verdik.

## K A Y N A K L A R

- 1- Akkoç,A.: Genel Histoloji
- 2- Alex M. Aisen, William Martel, Ethan, M.Braunstein Kim I Mc Millin William A.Phillips Thomas F.Kling MRI ad CT Evaluation of Primary Bone and soft-Tissue Tumors AJR: 146 749-756 April 1986.
- 3- Çokyüksel O. Kemik tümörlerinin tanısında osteomedulla grafinin değeri ve arteriografi ile birlikte uygulanması Doçentlik tezi 1972.
- 4- Tahlin D.C. Bone Tumors USA 1970.
- 5- Dahlin D.C Unni K.K Osteosarcoma of Bone itis Important Recognizable Varieties am; surg pathologia 1:67-72 1977.
- 6- Tahlin D.C. GiantCell tumor of Bone: Highlights of 407 Cases AJR 144:955-960 May 1985.
- 7- Daniel I Rosenthal, Alan L. Schiller, Henry J.Maskin Chondro Sarcoma: Correlation of Radiological and Histological Grade Radiology 1984: 150 21-26.

- 8- Daniel I Rosenthal Comuted. Tomography of Orthopedic neoplasms  
Ortopedic Clinics of North America Vol 16, No 3, July 1985.
- 9- Edeiken J. Hodes P.J. Caplan L.H.: New Bone production and perios-teal Reaction AJR 97:708-718 1966.
- 10- Edeiken Jack Rontgen Diagnosis of Disease of Bone-Volume one  
1977
- 11- Livingstone 1983 pp 69-168.
- 12- Ercan Tuncer Diagnostik Radyoloji 1988
- 13- Errov Levine M.D, P.hD. Kyo Rak Lee, James R.Neff, M.D.Nabil F. Makulat Ralph G.Robinson M.D and David F.Peroston MBD. Comparison of Computed Tomography and Other Imaging Modalities in the Evalution of Musculoskeletol Tumors Radyology 131:431-437 1979.
- 14- Gilmer W.S Kilpore W. Smith H. Central Cartilage of Bone Clin. Orthop 26:81-103-1963.
- 15- Ginaldi Sergi M.D Luis alanso De Santos Computed Tomography in the Evaluation of Small Cell Tumors of Bone Radiology 134:441-446 February 1980.
- 16- Grays Anatomy Dessimiptive and Applied.
- 17- Haaga John R, Alfidl Ralph Computed Tomography of Tumor Whole Body.
- 18- Jeffrey A.Lukens, Richard A.Mcleod, Franklin H.Sim Computed Tomographic Evaluation of Primary Osseous Malignnat Neoplasms AJR 139:45-48 July 1982.

- 19- Judy M. Desteuet M.D. Lous A. Computed Tomography of Long-Bone Osteosarcoma Radiology 131:439-445 May 1979.
- 20- K.Kozlavski E.M Azous I. Compbell Primary Bone Tumors of the Hand Pediatric Radiology 1988 18:140-148.
- 21- Krilum M.E.: Radyographic of Solitary Bone Lesions Orthop Clin North Am.14:39-64, 1983.
- 22- Marvin M. Lindell, Ali Shirkhoda, A. Kevin Rayod Paraosteal osteosarcoma: Radiologic-pathologic Corelation With Emphasis on CT AJR 148:323-328. February 1987.
- 23- Meschan Isadore, Meschan Farrer Analysis Rontgen Signs in General Radiology 1963 Volume I
- 24- Moss A. Gamov G.Cenant H. Computed Tomography of teh Body W.B Saunders Company 1988 USA.
- 25- Peter H. Arger Beverly G. Colemen Orthopedic Clinics of Nort Ameri-ca Vol 14 No.1 January 1983.
- 26- Putman C. Ravin C. Tekst book of Diagnostic Imaging W.B. Suundres Company 1988 Volume 2 USA
- 27- Resnink Donald, Gen Niwayama Diagnosis of Bone and Jaint Disor-des 1988 Volume 6.
- 28- richard P. Moser Ann Approach to Primary Bone Tumor the Radiolo-gic Clinics of North America Vol: 25 No: 6

- 29- Sutton David, Grainger Ronald A Textbook of Radiology 1983.
- 30- Terry M. Hudson Dempsay S. Spring Field Computed Tomography of prosteal Osteosarcoma ARJ 961-965 May 1985.
- 31- Tuzlaci Muhsin Kemik ve Eklem Hastalıkları Radyolojisi
- 32- Wegner O: Whole Body Computerised Tomography S.Karger. Verlg 1981 Berlin.
- 33- William D.Zimmer, Thomas H. Bergquist Bone Tumors: Magnetic Resonance Imaginc Versus Computed tomography Radiology 1985 155 709-719.
- 34- Willam V.Scott Donna Mag I elliot K.Fishman Computed Tomography of the musculoskeletal system 1987.
- 35- Wilner Daniel Radiology of Bon Tumors and Allied Disorders 1982.